

ЛИТЕРАТУРА

1. Amherd N. A., Vlases G. G. Trapping and absorption of an axially directed CO_2 laser beam by a Θ -pinch plasma.— Appl. Phys. Lett., 1974, vol. 24, N 2.
2. Yuen S. Y., Lax B., Cohn D. R. Laser heating of a magnetically confined plasma.— Phys. Fluids, 1975, vol. 18, N 7.
3. Johnson L. G., Chu T. K. Measurements of electron density evolution and beam self-focusing in a laser-produced plasma.— Phys. Rev. Lett., 1974, vol. 32, N 10.
4. Cohn D. R., Raff G. J., Brooks R. L., Lofer N. G., Halverson W. Beam self-focusing in a laser-produced plasma in a magnetic field.— Phys. Lett., 1974, A 49, N 2.
5. Афанасьев Ю. В., Басов Н. Г. и др. Лазерное инициирование термоядерной реакции в неоднородных сферических мишениях.— Письма в ЖЭТФ, 1976, т. 24, № 1.
6. Белоцерковский О. М., Демченко В. В., Косарев В. И., Холодов А. С. Численное моделирование некоторых задач лазерного сжатия оболочек.— ЖВММФ, 1978, т. 18, № 2.
7. Бунатян А. А., Неуважаев В. Е., Строцева Л. П., Фролов В. Д. Численное исследование развития возмущений при сжатии мишеней обостренным импульсом. Препринт № 71 ИПМ АН ССР, 1975.
8. Иванов М. Ф. Распространение волн оптического пробоя в газах.— Квант. электроника, 1978, т. 5, № 12.
9. Попов С. П., Ромашевич Ю. И. Применение метода расщепления для расчета двухтемпературных и ионизационно неравновесных течений газа.— ЖВММФ, 1977, т. 17, № 6.
10. Chu T. K., Johnson L. G. Measurement of the development and evolution of shock waves in a laser-induced breakdown plasma.— Phys. Fluids, 1975, vol. 18, N 11.
11. Попов С. П. Численный расчет задачи об остывании сферического объема неравновесно-ионизованного гелия.— ПМТФ, 1976, № 2.
12. Зельдович Я. Б., Райзер Ю. П. Физика ударных волн и высокотемпературных гидродинамических явлений. М., Наука, 1966.
13. Фирсов О. Г., Чибисов М. И. Тормозное излучение медленных электронов на нейтральных атомах.— ЖЭТФ, 1960, т. 39, вып. 6.

УДК 621.375.826

**ИССЛЕДОВАНИЕ
КОЛЕБАТЕЛЬНО-НЕРАВНОВЕСНОГО ТЕЧЕНИЯ
В КЛИНОВИДНОМ СОПЛЕ СМЕСИ $\text{CO}_2-\text{N}_2-\text{O}_2-\text{H}_2\text{O}$**

A. B. Britan, A. M. Stariк

(Москва)

В различных приложениях для получения высоких температур используется горение углеводородных топлив. Состав продуктов сгорания зависит от конкретных условий, но, как правило, в смеси в большом количестве, кроме молекул CO_2 и N_2 , присутствуют молекулярный кислород (мольная доля $\gamma_{\text{O}_2} = 0,2$) и пары воды ($\gamma_{\text{H}_2\text{O}} = 0,05$).

Последующее расширение продуктов сгорания в сверхзвуковом сопле может характеризоваться большой степенью неравновесности. Исследование таких течений в последнее время получило широкое развитие в связи с разработкой и совершенствованием газодинамических лазеров, в которых обычно используют клиновидные и плоские или осесимметричные профилированные сопла [1]. Оценка степени неравновесности течения проводилась по результатам измерения коэффициента усиления слабого сигнала зондирующего CO_2 -лазера. Для простых смесей $\text{CO}_2-\text{N}_2-\text{He}$ было отмечено удовлетворительное согласие эксперимента с расчетом. Это позволяет заключить, что основные вопросы кинетики энергообмена в таких потоках в настоящее время решены [1].

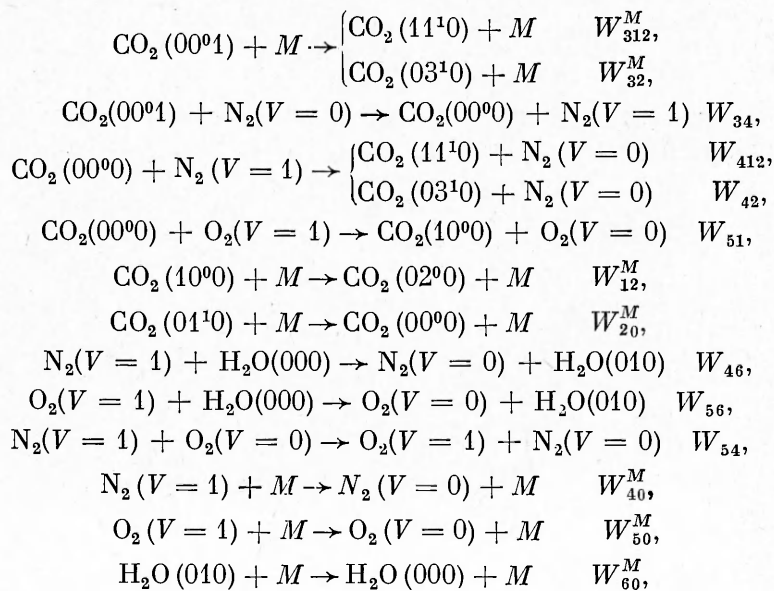
В то же время возрастающий объем публикаций по кинетике колебательного энергообмена в более сложных многокомпонентных смесях $\text{CO}_2-\text{N}_2-\text{CO}-\text{O}_2-\text{H}_2-\text{H}_2\text{O}$ [2—7] свидетельствует о том, что вопрос о создании математической модели течения таких смесей, согласующейся с экспериментом

в широком диапазоне составов и параметров торможения, до сих пор является актуальным. Сложность создания такой модели связана в основном с неопределенностями в величине используемых констант, а также с различными упрощениями, принятыми при трактовке кинетики колебательного энергообмена.

Поскольку в каждом конкретном случае создание расчетной методики часто базируется на сопоставлении результатов расчета с экспериментальными значениями коэффициента усиления, то анализ условий проведения измерений приобретает первостепенное значение. В частности, следует отметить, что в большинстве работ результаты расчета сравнивались не с распределением коэффициента усиления вдоль оси потока, а с его величиной, полученной при измерении в каком-то одном сечении. Основная часть измерений проводилась, как правило, за срезом сопла, при этом, согласно [8], полученные результаты следует корректировать с учетом реальной геометрии струи, ширина которой может превышать ширину сопла на 30 %. В экспериментах, проводимых на ударных трубах, особое значение приобретают вопросы, связанные с запуском сопловых устройств. Так, например, оптические исследования картины течения в клиновидном сопле [9] и в щели [8] показали, что в некоторых случаях поток не успевает приобрести установившейся структуры, характерной для стационарного течения, на протяжении всего времени измерений. Следует подчеркнуть, что для получения надежных результатов измерения наиболее целесообразно проводить одновременно в нескольких сечениях внутри сопла при условии отсутствия в потоке возмущений, вызванных погрешностями профилировки или отрывом перерасширенного потока от стенок.

Для анализа справедливости теоретических моделей колебательного энергообмена подобное исследование выполнено в данной работе. Использовалось плоское клиновидное сопло, которое достаточно быстро запускалось [9], и в измерительных сечениях, расположенных на расстоянии $x_1 = 29$ мм, $x_2 = 93$ мм от входной части, устанавливалось безотрывное квазистационарное течение, близкое к одномерному [10]. Для смеси, содержащей в различных пропорциях CO_2 , N_2 , O_2 , H_2O , диапазон начальных температур варьировался от 1000 до 2000 К, а давлений — от 2,5 до 7,5 ат.

1. Модель колебательного энергообмена в смесях CO_2 — N_2 — O_2 — H_2O . Пользуясь результатами работ [11—15], для данной смеси можно выделить следующие основные каналы релаксации колебательной энергии:



где M — любая невозбужденная молекула рассматриваемой смеси; W_{ip} — вероятность обмена колебательными квантами; $i = p = 1, 2, 3$ соответствуют симметричной, деформационной и асимметричной модам молекулы CO_2 ; $i = p = 4, 5, 6$ — нижним возбужденным состояниям молекул N_2 — ($V = 1$), O_2 — ($V = 1$) и H_2O — (010) соответственно; $p = 0$ — не-

возбужденное состояние любой молекулы; $p = 12$ — смешанное состояние молекулы CO_2 — (11^10).

Кинетические уравнения, описывающие релаксацию колебательной энергии по выделенным каналам, записывались в предположении наличия полного резонанса между симметричными и деформационными колебаниями ($\Theta_1 = 2\Theta_2$, где Θ_i — характеристические колебательные температуры) и равенства их колебательных температур ($T_1 = T_2$) с использованием обобщенного релаксационного уравнения [11]. В этом случае вероятности W_{32}^M , W_{312}^M и W_{42} , W_{412} можно объединить:

$$W_{3\Sigma}^M = W_{32}^M + W_{312}^M \frac{1 - y_2}{1 + y_2}, \quad W_{4\Sigma} = W_{42} + \frac{1 - y_2}{1 + y_2} W_{412},$$

где $y_i = \exp(-\Theta_i/T_i)$. Именно эти величины обычно измеряются в эксперименте [11].

Важное значение при создании математической модели неравновесного течения имеет правильный выбор температурных зависимостей для вероятностей элементарных процессов [7, 16].

Использование различных зависимостей $W_{ip} = f(T)$ даже в рамках одной кинетической модели приводит к существенному отличию ($\sim 50\%$) рассчитанных значений коэффициента усиления [16]. В данной работе зависимости $W_{ip} = f(T)$ получены на основе анализа опубликованных результатов теоретических [13—15] и экспериментальных [17—23] исследований.

Аппроксимационные зависимости для диапазона температур 300—2000 К приведены в табл. 1.

Коэффициент усиления среды в центре линии P (20) перехода $00^01 \rightarrow 10^00$ рассчитывался по формуле

$$\alpha_v = \frac{c^3}{4\pi v_0 b_D} \sqrt{\frac{\ln 2}{\pi}} A_{mn} \frac{(2j'' - 1) \rho N_A \gamma_{\text{CO}_2} \delta}{\mu Q_{\text{rot}} Q_{\text{vib}}} H(a, 0) DN,$$

$$DN = y_3 B' \exp \left[-\frac{B' j'' (j'' - 1)}{kT} \right] - y_2^2 B'' \exp \left[-\frac{B'' j'' (j'' + 1)}{kT} \right],$$

где N_A — число Авогадро; c — скорость света в вакууме; v_0 — частота перехода в центре линии; b_D — допплеровская ширина контура линии на полувысоте, определяемая соотношением $b_D = 2v_0 \sqrt{\frac{2RT \ln 2}{\mu_{\text{CO}_2} c}}$; B''

и B' — вращательные постоянные для нижнего и верхнего лазерных уровней соответственно; δ — фактор симметрии ($\delta = 2$ для молекулы CO_2); j'' — вращательное квантовое число нижнего колебательного состояния исследуемого перехода ($j'' = 20$); ρ , T — плотность и температура газа; k — постоянная Больцмана; R — универсальная газовая постоянная;

$\mu = \sum_{i=1}^n \mu_i \gamma_i$ (γ_i — молярная доля i -го компонента в смеси, μ_i — его молекулярный вес); $H(a, 0)$ — функция Фойгта, которая определялась согласно [1]; параметр a определялся в предположении независимости сечений ударного уширения спектральной линии от температуры (их значения выбирались согласно рекомендациям работ [1, 24]); Q_{vib} и Q_{rot} — вращательная и колебательная статистические суммы соответственно; коэффициент Эйнштейна A_{mn} принимался равным $0,187 \text{ с}^{-1}$ [24].

Неравновесные параметры среды определялись из совместного решения уравнений газовой динамики и релаксационных уравнений. Использовалось приближение одномерного стационарного течения идеального

Таблица 1

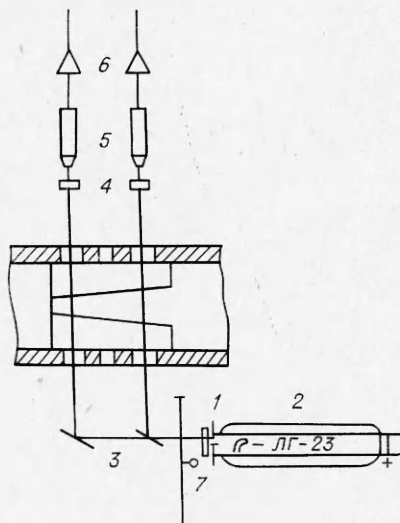
	$W_{ip} \text{ см}^3/\text{с}$	Литература
$W_{3\Sigma}^{CO_2}$	$\exp(9,456 - 218,23T^{-1/3} + 1,687T^{-2/3} - 3909,27/T)1,36T \cdot 10^{-16}$	[20]
$W_{3\Sigma}^{N_2}$	$\exp(15,456 - 424,03T^{-1/3} + 3852,67T^{-2/3} - 10672,157T^{-1}) \times 1,36T \cdot 10^{-16}$	[20]
$W_{3\Sigma}^{G_2}$	$W_{3\Sigma}^{N_2}$	[13, 14]
$W_{3\Sigma}^{H_2O}$	$4 \cdot 10^{-15} T (1-y_{20})^3 / (1-y_{30})$	[21, 20]
$W_{20}^{CO_2}$	$T \cdot 10^{-21} \exp(-7,85 + 17,42T^{-1/3}) 0,136$	[1, 13]
$W_{20}^{N_2}$	$0,136 \cdot 10^{-21} T \exp(-80,6 + 15,5T^{-1/3})$	[1, 13]
$W_{20}^{H_2O}$	$0,136 \cdot 10^{-21} T \exp(-5,46 - 21T^{-1/3})$	[1, 17]
$W_{20}^{O_2}$	$W_{20}^{N_2}$	[13, 14]
$W_{40}^{CO_2}$	$\exp(-19,44 - 134,727T^{-1/3} + 253,2T^{-2/3} - 2551,7T^{-1})$	[13, 14]
$W_{40}^{N_2}$	$\exp(7,489 - 965,3T^{-1/3} + 6851,155T^{-2/3} - 17248,9T^{-1})$	[13, 14]
$W_{40}^{O_2}$	$W_{40}^{N_2}$	[13, 14]
$W_{40}^{H_2O}$	$2,61 \cdot 10^{-17} \exp(-34,88T^{-1/3})$	[13, 14, 23]
$W_{50}^{CO_2}$	$\exp(-146,5T^{-1/3}) 1,34 \cdot 10^{-12}$	[13, 14]
$W_{50}^{N_2}$	$\exp(-131,6T^{-1/3}) 6,78 \cdot 10^{-13}$	[13, 14]
$W_{50}^{O_2}$	$\exp(-157T^{-1/3}) 1,11 \cdot 10^{-8}$	[13, 14]
$W_{50}^{H_2O}$	$10^2 W_{50}^{O_2}$	[13, 14]
$W_{60}^{H_2O}$	$\exp(-11,05 - 222,4T^{-1/3} + 924T^{-2/3} + 82T^{-1})$	[13, 14]
$W_{60}^{O_2}$	$\exp(-32,973 + 2T^{-1/3} + 80,53T^{-2/3} + 68,159T^{-1})$	[13, 14]
$W_{60}^{N_2}$	$W_{60}^{O_2}$	[13, 14]
$W_{60}^{CO_2}$	$0,5W_{60}^{O_2}$	[13, 14]
W_{51}	$1,49 \cdot 10^{-20} T (3T + 556)$	[22]
W_{34}	$4,16 \cdot 10^{-14} \sqrt{T} \exp(8,84 \cdot 10^{-7} T^2 - T \cdot 2,07 \cdot 10^{-3})$	[13, 14]
W_{56}	$1,39 \cdot 10^{-11} \sqrt{T}$	[13]
$W_{4\Sigma}$	$0,28 W_{3\Sigma}^{N_2}$	[15]
W_{46}	$\exp(-17,66 - 140,9T^{-1/3} + 347,214T^{-2/3} - 881,9T^{-1})$	[14, 23]

нетеплопроводного газа. Численное интегрирование полной системы уравнений проводилось по методу, предложенному в [25] и основанному на использовании заданного распределения плотности, полученного, например, из расчета течения совершенного газа, в трансзвуковой области. При этом не возникает трудностей, связанных с прохождением особой точки в критическом сечении сопла, и интегрирование ведется непосредственно из дозвуковой области в сверхзвуковую. Учет неравновесного характера течения уже в дозвуковой и трансзвуковой части сопла дает возможность избежать погрешностей в определении величины инверсии и коэффициента усиления среды [26], что особенно важно при низких значениях давления торможения ($p_0 < 10$ ат). Применение неявной разностной схемы второго порядка точности [25] позволило существенно сократить время вычислений.

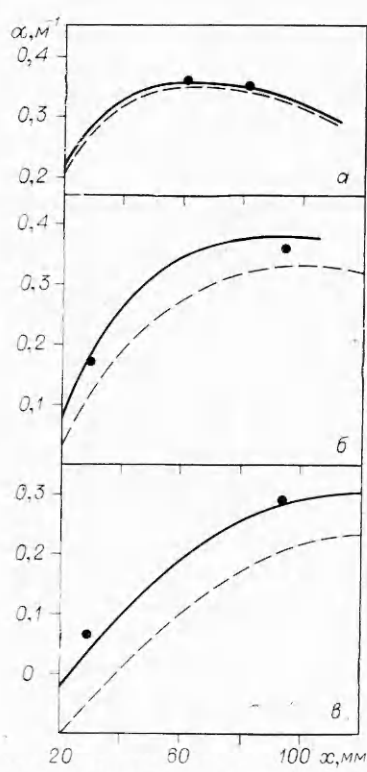
2. Методика эксперимента. Эксперименты по измерению коэффициента усиления проводились на ударной трубе с диаметром рабочей части около 500 мм. Описание конструкции установки и методики эксперимента приведено в [27]. Плоское клиновидное сопло с прямолинейными образующими имело угол раствора сверхзвуковой части 30° . Высота критического сечения 2 мм. Дозвуковой контур округлен по радиусу 4 мм. Исследуемая смесь составлялась в отдельном объеме с использованием принудительной циркуляции и насыщалась парами воды в процессе напуска в трубу. Давление водяных паров в смеси контролировалось методом отбора проб перед опытом по методике [28]. Поскольку пробы отбирались через отверстие в боковой стенке трубы, смесь предварительно выдерживалась в трубе с тем, чтобы концентрация водяных паров успела выравняться по сечению. Поэтому в большинстве экспериментов промежуток времени между напуском смеси в трубу и началом измерений составлял не менее 50 мин. Точность определения концентрации водяных паров в смеси составляла 3%. Давление перед выходом в сопло определялось экспериментально с помощью пьезодатчиков, а температура изменилась по методу обращения спектральных линий [29].

В схеме измерения коэффициента усиления использовался промышленный электроразрядный CO_2 -лазер ЛГ-23. Принимались специальные меры для изоляции корпуса лазера от механических колебаний и пульсаций давления в системе охлаждения газоразрядной трубы. При частично разъемном резонаторе лазер работал в режиме, близком к однодовому, а внутри резонатора (фиг. 1) устанавливалась ирисовая диафрагма 1, отрезающая поперечные колебания. Флуктуации питающего напряжения снижались с помощью сглаживающего фильтра, а для стабилизации разрядного тока использовалась схема, выполненная на пентоде ГУ-50 [30]. Принятые меры позволили снизить нестабильность выходной мощности лазера в течение 10 мин до величины около 3%. Оптическая схема изменения коэффициента усиления приведена на фиг. 1. Излучение от лазера 2 делится двумя полупрозрачными пластинками 3 из BaF_2 на два луча, проходящих поперек потока и далее через узкополосный фильтр 4, выделяющий спектральную область около 10 мкм, попадает на фотосопротивление 5 типа «Свод», а далее через катодный повторитель и предусилитель 6 подается на вход осциллографа. Контроль за интенсивностью проходящего излучения осуществляется введением в схему механического прерывателя 7, который непосредственно перед опытом убирался. Погрешность экспериментального определения коэффициента усиления оценивалась для выборки из шести экспериментов, проведенных в близких условиях. Рассчитывались характеристики распределения — дисперсия ($S^2 = 0,00126$), асимметрия ($\tilde{A} = 1,56$), эксцесс ($\tilde{E} = 0,412$); проверялись также условия нормальности распределения [31]. Погрешность в определении величины коэффициента усиления составляет 12,6%.

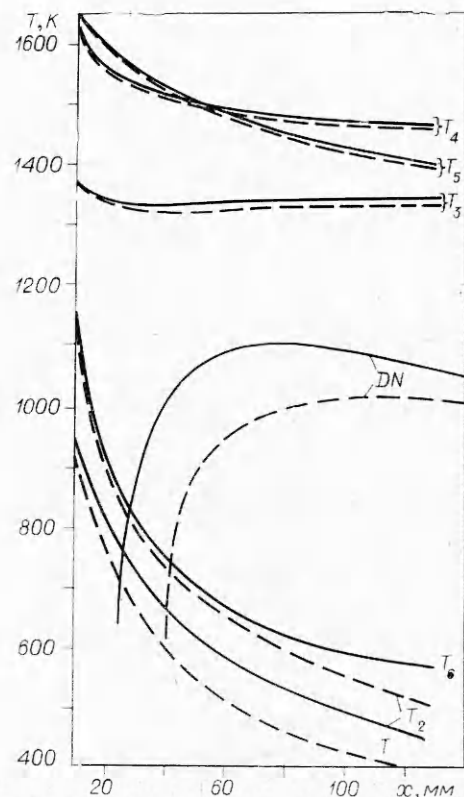
3. Анализ полученных результатов. Течение смеси $\text{CO}_2-\text{N}_2-\text{O}_2-\text{H}_2\text{O}$ исследовалось в широком диапазоне начальных параметров; так, темпе-



Фиг. 1



Фиг. 2



Фиг. 3

ратура смеси перед входом в сопло изменялась от 1000 до 2200 К, а давление от 2,5 до 7,5 ат. Значения коэффициента усиления, измеренные одновременно в двух сечениях на оси сопла, сравнивались с расчетом. На фиг. 2 представлены результаты расчета коэффициента усиления (штриховые кривые) и результаты измерений (точки для трех характерных составов смесей:

$$\gamma_{\text{CO}_2} = 0,078, \quad \gamma_{\text{N}_2} = 0,721, \quad \gamma_{\text{O}_2} = 0,185, \quad \gamma_{\text{H}_2\text{O}} = 0,02 \text{ (фиг. 2, a);}$$

$$\gamma_{\text{CO}_2} = 0,0545, \quad \gamma_{\text{N}_2} = 0,784, \quad \gamma_{\text{O}_2} = 0,135, \quad \gamma_{\text{H}_2\text{O}} = 0,025 \text{ (фиг. 2, б);}$$

$$\gamma_{\text{CO}_2} = 0,081, \quad \gamma_{\text{N}_2} = 0,792, \quad \gamma_{\text{O}_2} = 0,4, \quad \gamma_{\text{H}_2\text{O}} = 0,026 \text{ (фиг. 2, в).}$$

Параметры торможения соответственно равны: $p_0 = 4,3$ ат, $T_0 = 1080$ К; $p_0 = 4,75$ ат, $T_0 = 1630$ К; $p_0 = 5,3$ ат, $T_0 = 2060$ К. Из графиков видно, что расчет удовлетворительно согласуется с экспериментом только при температуре $T_0 = 1080$ К (фиг. 2, а). При значении $T_0 = 1630$ К (фиг. 2, б) расчетные значения α_v лежат ниже экспериментальных. Отмеченное расхождение увеличивается, достигая 30% при температуре торможения $T_0 = 2060$ К (фиг. 2, в). Тенденцию увеличения расхождения теории и эксперимента с ростом температуры можно объяснить, если считать, что величина скорости дезактивации деформационных колебаний молекулы CO_2 , а следовательно, и скорость расселения нижнего лазерного уровня определяются в основном столкновениями с молекулами H_2O ($W_{20}^{\text{H}_2\text{O}}$). Использованная в расчетах температурная зависимость для вероятности

Таблица 2

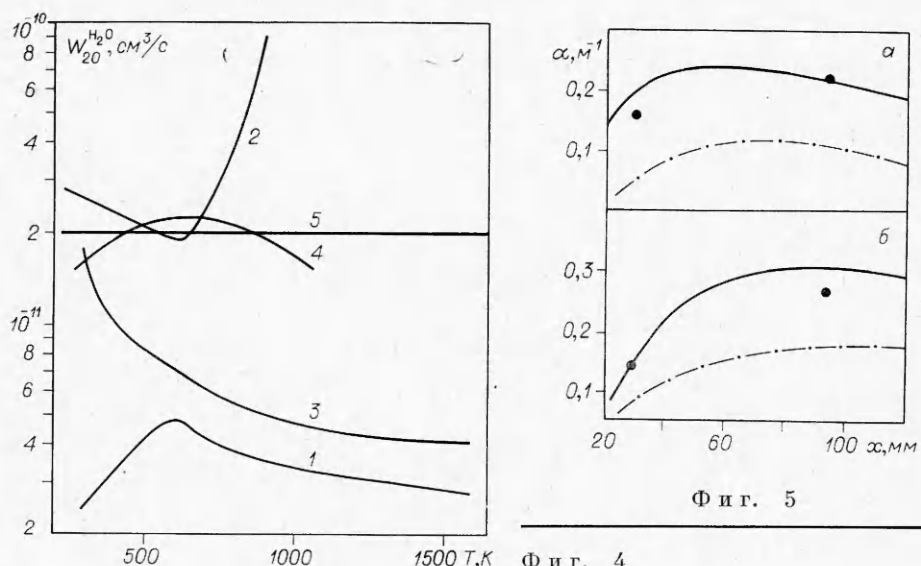
№ п/п	p_0 , ат	T_0 , К	γ_{CO_2} , %	γ_{N_2} , %	γ_{O_2} , %	γ_{H_2O} , %	I сечение		II сечение	
							$\alpha_{\text{расч}}$, m^{-1}	$\alpha_{\text{эксп}}$, m^{-1}	$\alpha_{\text{расч}}$, m^{-1}	$\alpha_{\text{эксп}}$, m^{-1}
1	3,2	1500	7,8	70,55	18,5	3,15	—	—	0,335	0,31
2	5,44	1800	5,4	79,7	10,6	4,3	—	—	0,265	0,265
3	6,8	2040	5,4	82,8	10,6	1,8	0,06	0,08	0,305	0,31
4	4,1	1780	8,1	80,1	10	1,7	—	—	0,3	0,26
5	4,67	1930	8,1	79,9	10	1,9	0,07	0,08	0,30	0,275
6	5,4	2000	7,8	71,6	18,5	2,1	0,04	0,065	0,305	0,32
7	6,25	2180	7,8	71,3	18,5	2,4	—	—	0,22	0,23
8	4,31	1080	7,8	72,1	18,5	1,6	0,355	0,36	0,34	0,34
9	4,76	1630	5,45	78,55	13,5	2,5	0,08	0,075	0,38	0,365
10	5,3	2060	8,1	79,3	10	2,6	—	—	0,285	0,29
11	3,17	1180	6,5	78,4	12,3	2,8	0,195	0,155	0,225	0,22
12	4,72	1510	6,5	79,1	12,3	2,1	0,145	0,137	0,305	0,27

$W_{20}^{H_2O}$ с ростом температуры дает уменьшение величины $W_{20}^{H_2O}$ [1, 17].

Ясно, что такая зависимость приведет к замедлению релаксации уровня 100 молекулы CO_2 с увеличением температуры и к более интенсивному замораживанию колебательной температуры T_2 в сверхзвуковой части сопла. Следствием этого будет уменьшение инверсии DN и коэффициента усиления среды. В отличие от [1, 17] зависимость для $W_{20} = f(T)$, полученная в [19], практически постоянна. В интервале изменения T от 300 до 2000 К значение $W_{20}^{H_2O}$ может приниматься равным $W_{20}^{H_2O} = 2 \cdot 10^{-11} \text{ см}^3/\text{с}$ [19]. Температурные зависимости для $W_{20}^{H_2O}$, полученные в [1, 17, 19], дают существенно различающиеся результаты только при температурах ~ 1000 К, поэтому использование рекомендаций работы [19] должно привести к увеличению скорости дезактивации состояния (0110) и (100) и к росту расчетных значений DN и α_v при высоких температурах торможения ($T_0 \geq 1700$ К).

Проведенные численные расчеты подтвердили данное предположение. Это хорошо видно на фиг. 3, где представлены распределения колебательных T_i и поступательной T температур, а также величины инверсии вдоль оси сопла, полученные с использованием температурных зависимостей для $W_{20}^{H_2O}$ согласно [1, 17] (штриховые) и [19] (сплошные линии), для случая течения смеси с $\gamma_{CO_2} = 0,081$, $\gamma_{N_2} = 0,792$, $\gamma_{O_2} = 0,1$, $\gamma_{H_2O} = 0,026$, $T_0 = 2060$ К и $p_0 = 5,3$ ат.

Распределения $\alpha_v(x)$, рассчитанные с учетом рекомендаций работы [19], для рассмотренных ранее случаев показаны на фиг. 2, *a*—*e* сплошными линиями. Видно, что использование величины $W_{20}^{H_2O} = 2 \times 10^{-11} \text{ см}^3/\text{с}$, постоянной во всем диапазоне изменения температуры, позволило существенно улучшить согласие теории и эксперимента, особенно в области высоких температур торможения. Аналогичное сравнение результатов расчета коэффициента усиления по методике данной работы с $W_{20}^{H_2O}$ из [19] с измеренными значениями α_v для других исследованных в работе режимов приведено в табл. 2, из которой видно, что максимальное различие между экспериментальными и рассчитанными значениями α_v составляет 10%.



Фиг. 4

Фиг. 5

Следует отметить, что подобная корректировка зависимости $W_{20}^{H_2O} = f(T)$ для улучшения согласия теории и эксперимента уже проводилась в работах [2, 6, 7]. При этом в [2, 6] при $T > 600$ К использовалась температурная зависимость, полученная по результатам работы [17], а при $T \leq 600$ К полагалось $W_{20}^{H_2O} = 8,13 \cdot 10^{-11} T$. В [7] учитывалась зависимость $W_{20}^{H_2O}$ от температуры, а абсолютные значения при $450^\circ < T < 850^\circ$ близки к величине, принятой в данной работе. На фиг. 4 показаны зависимости $W_{20}^{H_2O} = f(T)$, рекомендованные в этих работах (цифры 1—5 соответствуют работам [2, 6], [7], [1, 17], [19] и данной работе).

На фиг. 5 проводится сравнение экспериментальных значений α , с расчетом, выполненным по методике данной работы (сплошные линии) и по методике работы [10] (штрихпунктирные). Отметим, что в [10] не учитывался неравновесный характер течения в дозвуковой части сопла и использовалась модель колебательного энергообмена, рассмотренная в [1] для смесей $\text{CO}_2-\text{N}_2-\text{H}_2\text{O}$, а молекулярный кислород считался «инертным разбавителем». Температурная зависимость $W_{20}^{H_2O}(T)$ принималась согласно рекомендациям [1, 17] (см. фиг. 4, кривая 3). Расчет проводился для двух характерных составов смеси: $a - \gamma_{\text{CO}_2} = 0,04, \gamma_{\text{N}_2} = 0,78, \gamma_{\text{O}_2} = 0,152, \gamma_{\text{H}_2\text{O}} = 0,028$; $b - \gamma_{\text{CO}_2} = 0,04, \gamma_{\text{N}_2} = 0,797, \gamma_{\text{O}_2} = 0,152, \gamma_{\text{H}_2\text{O}} = 0,03$. В первом случае параметры на входе $T_0 = 1180$ К, $p_0 = 3,17$ ат (фиг. 5, а), во втором (фиг. 5, б) $T_0 = 1510$ К, $p_0 = 4,72$ ат. Видно, что результаты расчета по методике [10] значительно (почти в два раза) занижают значения коэффициента усиления по сравнению с экспериментом и расчетом, выполненным с учетом [19] по методике данной работы.

Проведенное исследование показало, что разработанная математическая модель неравновесного течения смеси $\text{CO}_2-\text{N}_2-\text{O}_2-\text{H}_2\text{O}$ при использовании значения $W_{20}^{H_2O} = 2 \cdot 10^{-11}$ см³/с удовлетворительно согласуется с экспериментом во всем диапазоне рассмотренных параметров и составов смеси. Имеющееся расхождение не превышает погрешности измерений.

Авторы выражают благодарность С. А. Лосеву, Р. И. Серикову, В. М. Хайлову за полезные обсуждения, О. П. Шаталову за помощь в проведении экспериментов.

Поступила 11 VII 1979

ЛИТЕРАТУРА

1. Лосев С. А. Газодинамические лазеры. М., Наука, 1977.
2. Jones A. T. Time dependent solutions of the vibrational non-equilibrium flow in $\text{CO}_2 - \text{N}_2 - \text{O}_2 - \text{H}_2\text{O}$ mixtures in gas dynamic lasers.— *J. Appl. Phys.*, 1976, vol. 9, p. 1193.
3. Васильев В. М., Куликов С. В., Скребков О. В. О расчете химически и колебательно неравновесного течения многокомпонентного газа через сопло.— ПМТФ, 1977, № 4.
4. Козлов Г. И., Иванов В. Н., Селезнева И. К. Расчет характеристик $\text{CO}_2 - \text{N}_2 - \text{CO} - \text{H}_2\text{O} - \text{H}_2$ газодинамического лазера. Препринт ИПМ АН СССР, 1977, № 99.
5. Monson V. D. Comparison of rigorons and simple vibrational models for the CO_2 -GDL.— *AIAA J.*, 1977, vol. 15, N 11.
6. Хилл Р. Дж., Джкуэлл И. Т., Джонс А. Т., Прайс Р. Б. Воздушные газодинамические лазеры.— Ракетн. техника и космонавтика, 1978, т. 6, № 3.
7. Генич А. П., Евтухин Н. В., Куликов С. В., Манелис Г. Б., Соловьева М. Е. Расчеты коэффициентов усиления многокомпонентных рабочих сред в CO_2 -ГДЛ на продуктах горения.— ПМТФ, 1979, № 1.
8. Голуб В. В. Экспериментальное исследование нестационарной волновой структуры струи, истекающей из плоского сопла. Дис. на соиск. учен. степени канд. физ.-мат. наук. ИВТАН СССР, 1975.
9. Британ А. Б., Жилин Ю. В., Мазманияц А. П. Экспериментальное исследование запуска сопла ударной трубы большого диаметра.— Изв. АН СССР. МЖГ, 1979, № 4.
10. Левин В. А., Тупик Ю. В. Движение релаксирующей смеси газов в двумерных плоских соплах.— Изв. АН СССР. МЖГ, 1976, № 1.
11. Бирюков А. С. Кинетика физических процессов в газодинамических лазерах.— Труды ФИАН им. Лебедева, 1975, т. 83.
12. Егоров Б. В., Комаров В. И. Расчет инверсии заселенностей и коэффициента усиления релаксирующей смеси газов при течении в соплах.— Труды ЦАГИ, 1975, № 1959.
13. Taylor R. L., Bitterman S. Survey of vibrational relaxation data for processes important in the $\text{CO}_2 - \text{N}_2$ laser system.— *Rev. Mod. Phys.*, 1969, vol. 41, N 1.
14. Blauer J. A., Nickerson G. R. A survey of vibrational relaxation rate data for processes important to $\text{CO}_2 - \text{N}_2 - \text{H}_2\text{O}$ infrared pump radiation. *AIAA-paper*, 1974, N 74—536.
15. Herzfeld K. F. Deactivation of vibrations by collision in the pressure of Fermi resonance.— *J. Chem. Phys.*, 1967, vol. 47, p. 743.
16. Anderson J. D. Effect of kinetic rate uncertainties on gasdynamic laser gain and energy predictions.— *AIAA J.*, 1974, vol. 12, N 12.
17. Rosser W. A., Hoag J. E., Gerry E. T. Relaxation of excess populations in the lower laser level $\text{CO}_2(100)$.— *J. Chem. Phys.*, 1972, vol. 57, p. 4153.
18. Bulthuis K., Ponsen G. Relaxation of the 10^0 lower laser level in CO_2 .— *J. Chem. Phys. Lett.*, 1973, vol. 21, N 2.
19. Sharma R. D. Vibrational relaxation of CO_2 by H_2O .— *J. Chem. Phys.*, 1971, vol. 54, p. 870.
20. Бирюков А. С., Конюхов В. К., Луковников А. П., Сериков Р. И. Релаксация колебательной энергии уровня 00^1 молекулы CO_2 .— ЖЭТФ, 1974, т. 66, № 4.
21. Buchwald M. J., Bauer S. H. Vibrational relaxation in CO_2 with selected collision partners.— *J. Phys. Chem.*, 1972, vol. 76, p. 3108.
22. Bass H. E. Vibrational relaxation in CO_2/O_2 mixture.— *J. Chem. Phys.*, 1973, vol. 58, N 11.
23. Whitson M. E., McNeal R. J. Temperature dependence of the quenching of vibrationally excited N_2 by NO and H_2O .— *J. Chem. Phys.*, 1977, vol. 66, p. 2696.
24. Бирюков А. С., Волков А. Ю., Кудрявцев Е. М., Сериков Р. И. Анализ данных по вероятности спонтанного излучения и ударного уширения линий перехода $00^1 \rightarrow 10^0$ молекулы CO_2 .— Квант. электроника, 1976, т. 3, № 8.
25. Крайко А. И. О расчете неравновесного течения газа в соплах Лаваля.— Труды НИИМ МГУ, 1973, № 21.
26. Егоров Б. В., Комаров В. И. Исследование процессов неравновесности в дозвуковой и сверхзвуковой частях сопла на величину инверсии заселенностей при течении газовой смеси $\text{CO}_2 - \text{N}_2 - \text{O}_2 - \text{H}_2\text{O}$.— ПМТФ, 1975, № 2.

27. Лосев С. А., Макаров В. Н., Павлов В. А., Шаталов О. П. Исследование процессов в газодинамическом лазере на ударной трубе большого диаметра.— ФГВ, 1973, № 4.
28. Белков П. В., Вакатов В. П., Ткаченко Б. К., Широков Н. И. Экспериментальное исследование зависимости показателя усиления в газодинамическом лазере на смеси $\text{CO}_2 - \text{N}_2 - \text{H}_2\text{O}$ от содержания паров воды.— ФГВ, 1976, № 4.
29. Смехов Г. Д., Полторацкий В. А., Британ А. Б. Обобщенная схема измерения температуры газа методом обращения спектральных линий.— ТВТ, 1979, т. 16, № 3.
30. Зеленов А. А., Райхман Б. А., Семенов Е. И. Стабилизация мощности излучения лазера ЛГ-23.— Оптико-механическая промышленность, 1974, № 6.
31. Лосев С. А. О свертке информации, получаемой в экспериментах на ударных трубах.— Труды НИИМ МГУ, 1973, № 21.

УДК 535+534.222+539.196

РЕЗОНАНСНАЯ САМОФОКУСИРОВКА В СМЕСИ CO_2 И N_2

B. A. Выслух, L. I. Огнев
(Москва)

Резонансное поглощение импульсного излучения CO_2 -лазера в смеси CO_2 и N_2 сопровождается эффектом кинетического охлаждения [1]. В смесях, содержащих более 1% углекислого газа, это явление изучалось экспериментально [2—4] и теоретически [4, 5]. На основе кинетических уравнений для запасов колебательных квантов в модах [4, 5] исследована зависимость глубины и времени существования охлаждения от параметров импульса и среды. Показано [6], что глубина охлаждения заметно возрастает при повышении температуры смеси до 500—600 К. Рассмотрение проводилось в приближении заданного поля излучения, справедливом на коротких трассах.

В то же время ясно, что возрастание плотности в приосевой области пучка, вызванное кинетическим охлаждением, приводит к подавлению дифракционного расплывания и может вызвать самофокусировку, что, в свою очередь, повлияет на параметры среды. Данная работа посвящена численному исследованию самосогласованной задачи о взаимодействии излучения CO_2 -лазера со смесью углекислого газа и азота. Характерные параметры соответствуют условиям лабораторного эксперимента [4]. Основное внимание уделяется выявлению тех условий, при которых самофокусировка за счет кинетического охлаждения может быть зафиксирована в патурном эксперименте.

1. Самовоздействие рассматривается в приближении квазиоптики [7] на основе «параболического» уравнения для комплексной амплитуды электрического поля $\mathcal{E}(r, z, t)$:

$$(1.1) \quad 2ikn \left(\frac{\partial \mathcal{E}}{\partial z} + \frac{1}{v} \frac{\partial \mathcal{E}}{\partial t} \right) = \Delta_{\perp} \mathcal{E} + 2k^2 \delta n \mathcal{E} - ika \mathcal{E},$$

где $k = 2\pi/\lambda$ — волновое число; v — групповая скорость света; α , n — коэффициенты поглощения и преломления света в среде; δn — изменение коэффициента преломления среды; $\Delta_{\perp} = 1/r \cdot \partial/\partial r (r \partial/\partial r)$. В правой части уравнения (1.1) первый член описывает дифракцию, последний — поглощение в среде. Поглощение предполагается линейным, т. е. явление оптического просветления среды не учитывается. Самовоздействие, возникающее за счет изменения показателя преломления среды при кинетическом охлаждении, описывается вторым членом в правой части уравнения (1.1). Изменение показателя преломления среды предполагается пропорциональным возмущению плотности $\delta n = (n_0 - 1)\delta\rho/\rho_0$. В свою очередь, относительное изменение плотности газа $\rho(r, z, t)$ удовлетворяет волновому уравнению